September, 2008

罗丹明6G 的三维荧光和共振散射光谱

夏国朝

(桂林工学院材料与化学工程系 广西桂林市建干路12号

摘 要 研究了罗丹明6G(R6G)的荧光光谱、共振散射光谱和吸收光谱、讨论了共振光散射与共振荧 光的区别与联系。 在罗丹明6G 水溶液的三维荧光等高线光谱中、 瑞利散射线与荧光等高线有部分相交。 共 振散射峰(544nm)介于荧光激发峰(530nm)和发射峰(552nm)之间。由光偏振实验,测得R6G 共振散射光 谱544nm 处的偏振度P 为0 0105。上述实验结果证明, R 6G 的共振散射峰主要是共振荧光。共振光散射信 号随oH 值增大而增强的机理是R6G 酸碱平衡移动导致荧光型体的形成。由于自吸收的影响,荧光强度、共 振散射光强度与R6G浓度之间不是严格的线性关系。

关键词 罗丹明6G, 三维荧光, 共振光散射, 共振荧光, 光偏振。

中图分类号: O 657. 32 文献标识码: A

文章编号: 1004-8138(2008)05-0773-06

引言 1

当紫外光照射到某些物质的时候,这些物质会吸收紫外光,自身发射出不同颜色和不同强度的 可见光, 而当紫外光停止照射时, 这种自身发出的光线也随之很快地消失, 这种光线称为荧光口。利 用这种能够反映物质特性的荧光来对该物质进行定性和定量分析的方法称为荧光分析法: 共振光 散射(Resonance Light Scattering, RLS) 技术是Δλ= 0 的同步荧光技术[2]。这两种技术最主要的优 势是灵敏度高和选择性好[3-5],但荧光与共振光散射之间既有区别又有联系[6]。本文研究了罗丹明 6G (R hodam ine 6G, 简称 R 6G, 结构见图 1) 的荧光, 共振光散射和吸收光谱的特性与机理。实验证 明, R 6G 水溶液的共振光散射主要是共振荧光, 荧光强度和共振光散射强度随浓度增大而增强, 但 由于自吸收的影响,并不是线性关系。同时溶液pH 值的改变可以导致R 6G 水溶液的酸碱平衡移 动。

图 1 R6G 分子结构

联系人, 手机: (0) 13768748139; E-m ail: taohuilin@glite.edu.cn

作者简介: 夏国朝(1976—), 男, 湖南省株洲市人, 硕士, 主要从事药物分析方向工作。

2 实验部分

2 1 仪器与试剂

LS55 荧光分光光度计(美国PE 公司), TU-1901 双光束紫外可见分光光度计(北京普析公司), FA 1104 电子分析天平(江苏泰兴市电子仪器厂), pHS-3C 型精密pH 计(上海精雷磁仪器厂)。

R 6G (分析纯): 以水配制成0.5g / L 溶液; 3mol / L HCl 标准溶液; 1.0mol / L 的N aCl 溶液; 实验用水为二次蒸馏水。

2 2 实验方法

在一系列 25mL 比色管中, 分别加入N aCl 溶液、R 6G 溶液和HCl 标准溶液, 以水稀释至刻度, 摇匀, 扫描三维荧光光谱, 三维同步荧光光谱, 以激发波长 λ_x 等于发射波长 λ_m 扫描共振散射光谱, 扫描二维荧光光谱和吸收光谱, 进行光偏振实验。

3 结果与讨论

3.1 R6G 水溶液的三维荧光光谱

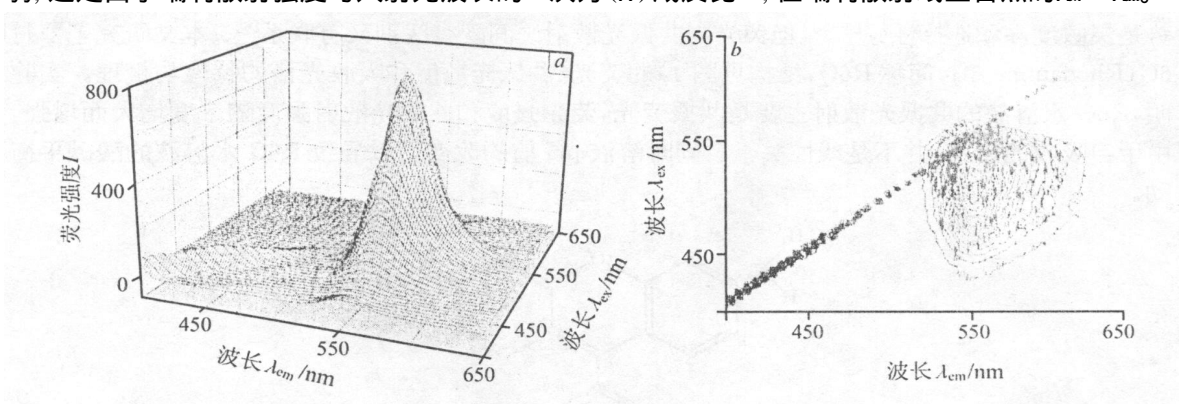


图 2 R 6G 的三维荧光光谱 *a*——投影图; *b*——等高线图。

C_{R6G}= 4 0μg/mL; pH 0 44; 0 lmol/L N aCl; 狭缝 2 6nm/2 6nm; 电压 650V; Δλ_x= 5nm; 扫描速度 400nm/m in,

从b中可以找出R 6G 的三维特征荧光峰的定量信息(λ_m = 552nm, λ_x = 530nm, I= 798), 瑞利散射线与荧光等高线在 521—562nm 之间相交, 这表明对R 6G 水溶液而言, 在 521—562nm 波长范围内, 当激发波长与发射波长相等时, 所得到的发射光包括瑞利散射光和共振荧光(因为 λ_x = λ_m)。这说明, 用共振光散射技术(即 $\Delta\lambda$ = 0 的同步荧光技术)所测得的共振散射光谱包括瑞利散射和共振荧光。瑞利散射在各测量波长都存在, 而共振荧光只在一定的波长范围内存在。对R 6G 水溶液而

言,产生共振荧光的波长范围是521—562nm,共振荧光最强的波长(共振荧光峰)是544nm。一般认 为, 共振荧光在气体和结晶中有可能发生, 而在溶液中, 由于溶剂的相互作用使能量损失, 所观察到 的荧光波长总是大于激发光的波长,不大可能观察到共振荧光[8]。 但图 2 表明, R 6G 溶液可以产生 较强的共振荧光。

3.2 R6G 水溶液的三维同步荧光光谱

在350—600nm 之间,同步波长 $\Delta\lambda$ 从0—140nm 变化($\Delta\lambda = \lambda_m - \lambda_{\infty}$),扫描间隔 $\Delta\lambda$ 相差5nm,扫 描R 6G 水溶液的三维同步荧光, 如图3 所示。c 是投影图, c 中每条曲线表示在特定同步步长 $\Delta\lambda$ 下的 荧光强度, 它反映了激发波长 λ_x 和发射波长 λ_m 同步变化对荧光强度的影响。d 是等高线图, 从d 中 可以找到三维特征同步荧光峰的信息($\Delta \lambda = 25 \text{nm}$, $\lambda_m = 527 \text{nm}$, 强度 I = 656 6), 最大共振散射峰的 信息 $(\Delta \lambda = 0, \lambda_{m} = 544 \text{nm}, 强度 I = 395, 1)$,这些信息可以作为同步荧光法和共振散射法定量测量 的信息。

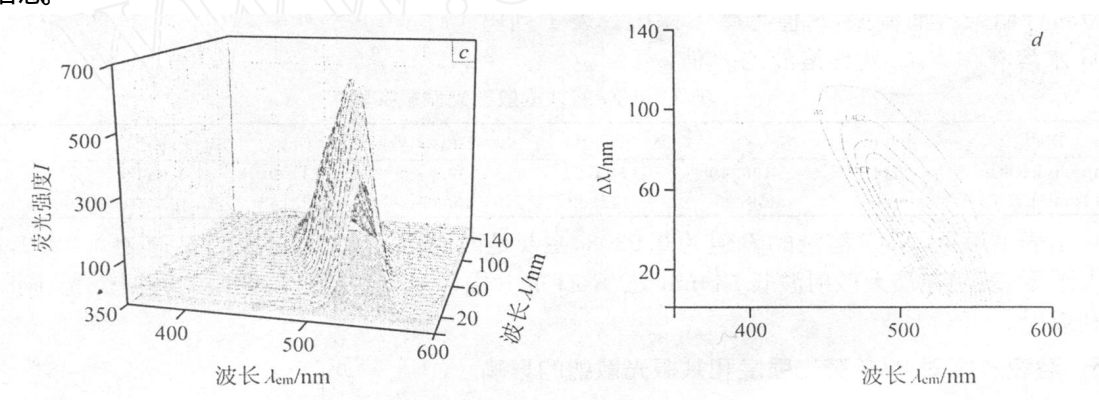


图 3 R6G 三维同步荧光光谱 ---投影图; d ----等高线图。

 $C_{R6G} = 4\mu g/mL$; pH 0 92; 狭缝2 5nm; 电压650V; 扫描速度400nm/m in; 扫描间隔5nm。

3 3 R6G 水溶液的二维荧光与共振散射光谱

图 4 绘出了R 6G 水溶液的荧光激发光谱、发射光 谱和共振散射光谱。由图4可见,R6G的荧光激发峰 (1) 位于 530nm, 发射峰(2) 位于 552nm, 共振散射峰屬 (3) 位于 544nm, 共振散射峰介于荧光激发峰和发射峰 之间。由于R 6G 的激发光谱和发射光谱有相当大的重 叠, 而且重叠部位正好是共振散射峰的位置。 因此, 共 振散射峰包含共振荧光。联系图2考虑,可知图4中的 共振散射峰就是图 2b 中瑞利散射线与荧光等高线相 交的部分, 在共振散射峰以外的波长区域, 散射光较



弱,是瑞利散射。

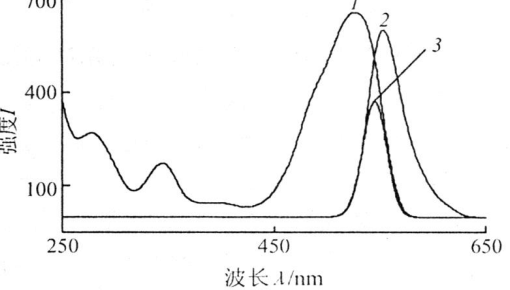


图 4 R 6G 的荧光激发光谱(1)、发射光谱(2)和 共振散射光谱(3)

 $C_{R6G} = 4.0 \mu g/mL$, pH 0 92, 0 lm o l/L N aCl, $\lambda_{\rm ex}/\lambda_{\rm m} = 530 \,\rm nm/552 \,\rm nm$.

狭缝2 5nm/2 5nm; 电压650V; 扫描速度600nm/m in。

利用光偏振实验,可以进一步鉴别R6G共振散射

光谱中的荧光成分。 散射光是完全偏振光, 在偏振光激发下, 荧光体所发射的荧光亦是偏振光。 但 是, 小分子在粘度小的水溶剂中旋转扩散很快, 因此可使荧光消偏, 通过测量R 6G 共振散射光的偏 振度, 可以鉴别其是否为共振荧光光偏振。实验方法如下: 将激发偏振器 Ex 的取向置为 0° , 发射偏振器 Em 的取向分别置为 0° 和 90° , 所观测到的发射强度分别用 I 和 I 表示; 将激发偏振器 Ex 的取向置为 90° , 发射偏振器 Em 的取向分别置为 0° 和 90° , 所观测到的发射强度分别用 I 和 I 表示。如此扫描R I 6I 水溶液的共振散射偏振光谱,如图 I 所示。

测定图 5 中 544nm 处发射光强度, 按下式计算荧光偏振 P:

$$P = (I - GI)/(I + GI)$$

式中: G = i / i ; 理论上, 散射光的 P 值等于 1, P 值小于 1 为部分偏振或消偏振, P 值为零不偏振。 表 1 列出了 R 6G 水溶液和 N aC1 对照溶液的 P 值。

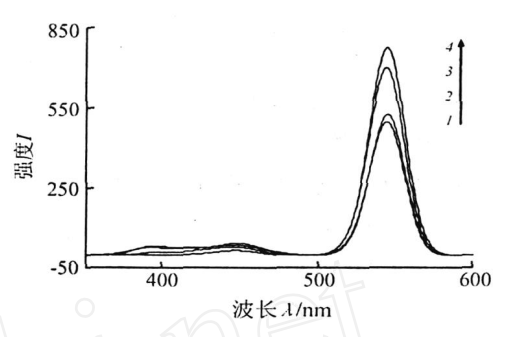


图 5 R 6G 的共振散射偏振光谱

C_{R6G}= 4 0μg/mL; pH 0 92; 0 lmol/L NaCl; 狭缝4nm/4nm; 电压650V; 扫描速度600nm/m in。 1——i; 2——i; 3——I; 4——I。

表 1 R6G 的共振散射光偏振实验

物质	$\lambda(nm)$	i	i	I	I	G	P
4μg/mLR 6G	544	496 49	524. 74	697. 33	773 09	1. 0609	0 0220
0 lmol/LNaCl	450	59. 20	22 09	36 35	378 16	0 3731	0 9308

由表 1 可见, N aC 1 溶液的 P 值为 0 9308, 主要是散射光。 R 6G 水溶液的 P 值为 0 0220, 小于 1 但大于零, 表明在最大散射波长 544nm 处, R 6G 的共振散射光主要是消偏振的共振荧光, 同时也有瑞利散射。

3 5 溶液酸度对 R6G 荧光强度和共振光散射的影响

固定R 6G 溶液浓度, 改变 H^+ 浓度, 测量共振光散射和 荧光强度, 如图6。比较图6 中两条曲线的变化趋势, R 6G 荧光强度与共振光散射强度随 H^+ 浓度升高而同时减小, 可见 高速 二者变化的机理是相关联的。

3.6 酸碱度对 R6G 水溶液吸收光谱的影响

固定R 6G 浓度, 改变溶液酸碱度, 绘制R 6G 水溶液的吸收光谱, 如图7 所示。 a 是在碱性溶液中的吸收光谱, 随着OH 浓度的增加, 最大吸收波长从526nm 紫移至512nm。 b 是在酸性溶液中的吸收光谱, 随着H⁺ 浓度的增加, 最大吸收波长从526nm 红移至532nm。综合a、b 两图可知, 随着pH 值的减小(从左到右), R 6G 水溶液的吸光度先增加后减小, 而且a 图在470nm 处形成一等色点。这些光谱特征表明溶液的酸碱性影响了R 6G 羧基质子的离解平衡:

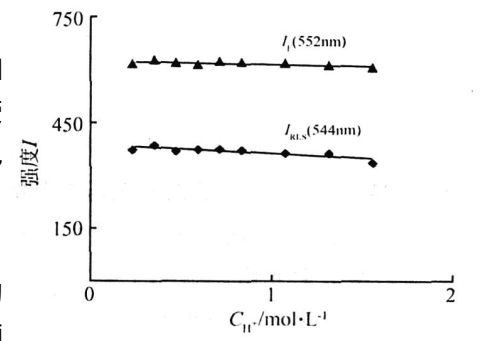


图 6 荧光强度和共振光散射强度与 酸度的关系

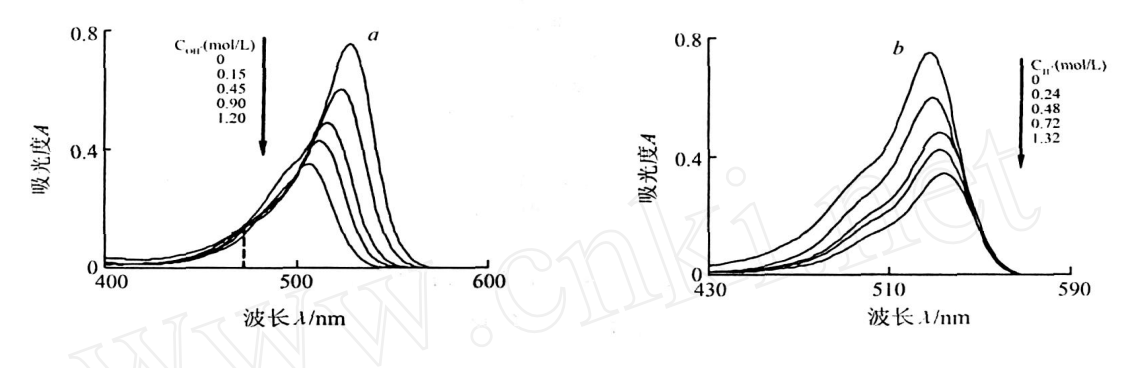
C_{R6G}= 4 0µg/mL, 0 lmol/L NaCl; λ_x- 530nm; 狭缝 2 5nm/2 5nm; 电压 650V; 扫描速度 600nm/m in。

$$HL^{+} + H^{+} \longrightarrow H_{2}L^{2+}$$
 (1)

$$HL^+ + OH^- \longrightarrow H_2O + L$$
 (2)

平衡形体 HL^+ 的最大吸收波长为526nm。 在酸性条件下(1), R 6G 苯环上羧基和胺基质子化, R 6G 分子主要以H L 2+ 形式存在。在碱性条件下(2), 羧酸质子离解, R 6G 分子主要以羧酸盐 L 形式存在。

综合图 6 和图 7 可以推知, R 6G 的荧光光谱、共振散射光谱和吸收光谱随pH 的改变均与R 6G 的酸碱平衡移动有关,都是由于各型体平衡浓度的变化。



R 6G 在不同pH 溶液中的吸收光谱 ·碱性溶液; b 酸性溶液。

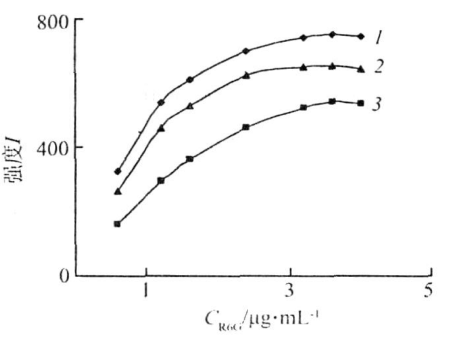
 C_{R6G} = 4 $0\mu g/mL$; 0 1mo1/L N aC1; 扫描间隔 2nm, 中速; 以水作空白。

3.7 荧光强度、同步荧光强度和共振散射强度与R6G浓度的关系

根据2 1 和2 2 确定的最佳测定波长、绘出该波长处荧光强度、同步荧光强度和共振散射强度 与R6G浓度之间的关系,如图8,从图8可见,荧光强度,同 步荧光强度和共振散射强度与R 6G 浓度之间不是严格的线 性关系, 但三者的强度随溶液浓度的变化趋势很相似, 即浓 度越大, 荧光强度、同步荧光强度和共振散射强度的变化越 🗟 400 平缓, 这说明影响三者强度偏离线性的因素是相同的。其原 因 是R6G 的荧光峰, 共振散射峰均与吸收峰有一定程度的 重叠(图4), R 6G 的发光性质受到其自吸收的影响。浓度越 大, 发射光被自吸收越严重, 荧光强度, 同步荧光强度和共 振散射强度随浓度的改变就越小。

结论

由以上实验结果和理论分析, 可以得出如下结论: (1) R 6G 的共振光散射主要是共振荧光; (2) R 6G 共振光散射 增强的机理是由于溶液pH 的改变导致荧光型体的形成: (3) 由于R6G 自身吸光的影响, 荧光强度和共振光散射与



荧光强度和共振光散射强度与 R 6G 浓度的关系

—荧光, λ_m552nm; 2——同步荧光, $\Delta \lambda = 25 \, \text{nm}$, $\lambda_{\text{nm}} 527 \, \text{nm}$; 3——共振散射。 λ_m 544nm; pH3 8, 0 1mol/L NaCl; 电压650V; 狭缝3nm/3nm;扫描速度600nm/min。

浓度之间不是严格的线性关系: (4) 用不同的平面去切图 2-a 三维荧光光谱曲面, 可以得到不同的 二维光谱图(平面和曲面的交线)。 用垂直 λ 轴的平面去切三维荧光光谱曲面, 可以得到一系列荧 光激发光谱: 用垂直 λ. 轴的平面去切, 可以得到一系列荧光发射光谱: 用沿瑞利散射峰的对角面去 切 $(\Delta \lambda = 0)$,可以得到共振散射光谱;用平行于瑞利散射峰对角面的平面去切(平行间隔为 $\Delta \lambda)$,可 以得到一系列同步步长为 $\Delta\lambda$ 的同步荧光光谱: 用垂直荧光强度I 轴的平面去切. 就可以得到三维荧 光等高线图,由此可见,三维荧光,三维同步荧光和共振散射之间有密切联系,影响三者的因素有相 同之处。

参考文献

- [1] 夏锦尧 实用荧光分析法[M] 北京: 中国人民公安大学出版社, 1992
- [2] 魏永巨, 刘翠格, 赵晶等. 曙红Y的共振光散射与共振荧光[J]. 化学通报, 2005, (8): 628—632
- [3] 刘志宏, 蔡汝秀 三维荧光光谱技术分析应用进展[J] 分析科学学报, 2000, 6(16): 516—523
- [4] 汪尔康 分析化学新进展[M] 北京: 科学出版社, 2002 280—288
- [5] 柴逸峰, 吴玉田, 李翔 药物分析(II)[J]. 分析试验室, 2004, **23**(7): 72—92
- [6] 唐晓玲, 刘忠芳, 刘绍璞等 苯海拉明与赤藓红相互作用的吸收, 荧光和共振瑞利散射光谱及其应用[1] 中国科学, B 辑: 化学, 2007, 31(1): 68—75.
- [7] 魏永巨, 康志敏, 刘翠格等 罗丹明B 的共振散射光谱研究[J]. 光谱学与光谱分析, 2004, 24(12): 659—1662
- [8] 陈国珍, 黄贤智, 许金钩等. 荧光分析法[M] 第2版 北京: 科学出版社, 1990 8

Spectrophotometric Studies on Three-Fluorescence and Resonance Scattering of Rhodamine 6G

X A Guo-Chao Tao Hui-Lin

(Dept of Material and Chenical Engi, Guilin Institute of Tech., Guilin, Guangxi 541004, P. R. China)

Abstract Fluorescence, resonance light scattering (RLS) and absorption spectra of Rhodam ine 6G(R6G) have been studied to discuss the difference and relationship between RLS and resonance fluorescence. In three-dimensional fluorescence contour spectra of R6G aqueous solutions, Rayleigh scattering line intersects with fluorescence contour. The RLS peak (544nm) of R6G lies just between fluorescence excitation peak (530 nm) and emission peak (552nm). In light polarization experiment, the polarization of RLS at 544nm was measured to be P = 0.0105 All the above experimental fact reveals that the RLS peak of R6G mainly consists of resonance fluorescence. The mechanism of RLS enhancement with the pH increase is because of the formation of fluorescence species in acid-base equilibrium of R6G solutions. Since light scattering is affected by light absorption, relationship between fluorescence intensity, RLS intensity and R6G concentration is not strictly linear.

Key words Rhodam ine 6G, Three-D in ensional Fluorescence, Resonance Light Scattering, Resonance Fluorescence, Light Polarization

2009 年《光谱实验室》征订启事

《光谱实验室》2009年订价与2007、2008年相同:

双月刊, 16 开, 每册256 页, 单月25 日出版, 每份年订价为240 元(1-6 期); 零售价为: 第1 期70 元/本, 其 余40 元/本。

欲订阅的读者请到当地邮电局(所)办理订阅手续,邮发代号为82-863。错过时间者,可直接通过邮局汇款 向本编辑部联络处订阅。

地址: 北京市81 信箱66 分箱 刘建林, 邮编: 100095, 电话: (010) 62452937。

《光谱实验室》编辑部 2008年9月25日